

Traitement Numérique des Données

M1 – INF 2163
AIDN: Applications Interactives et
Données Numériques
Sylvie Gibet

1

1

Traitement des images

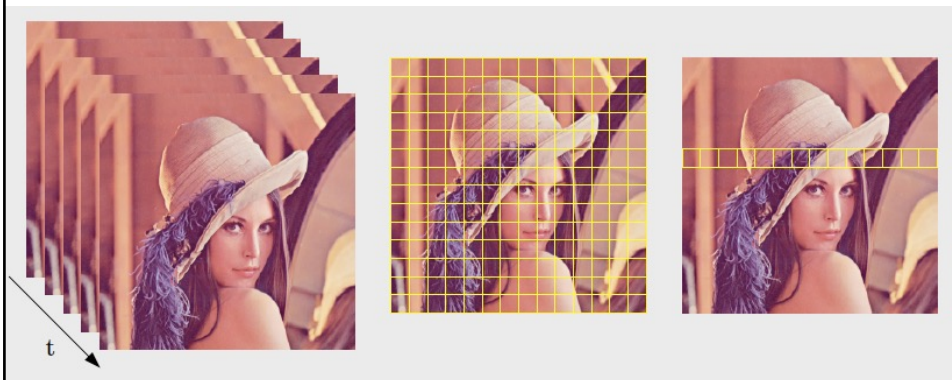
2

2

Monde réel -> monde numérique

Transformation de l'espace 3D en un tableau de valeurs

- **Formation** de l'image (projection) à travers un système optique
- **Echantillonnage** temporel, spatial et spectral par le **capteur**
- **Numérisation** par le capteur et / ou le système de traitement



3

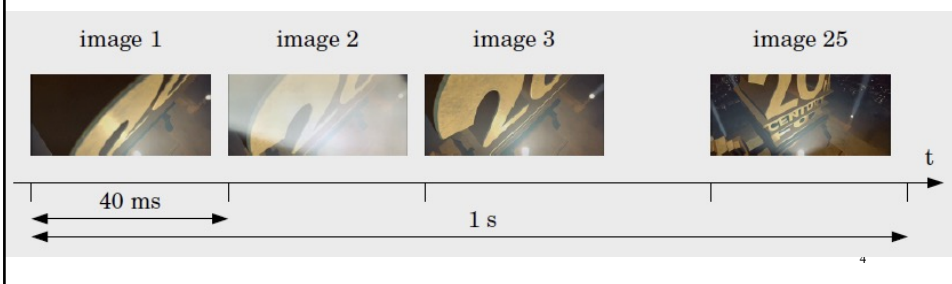
Echantillonnage temporel

Cadence d'acquisition des images

- On ne peut pas mesurer l'information lumineuse de façon **continue** dans le temps, donc on prend des **échantillons**.
- Ainsi, on mesure **périodiquement** l'information lumineuse.
- La **fréquence** d'acquisition est l'inverse de la **période** d'acquisition.

Exemple

- Fréquence vidéo en France : 25 images / s, période de 40ms.



4

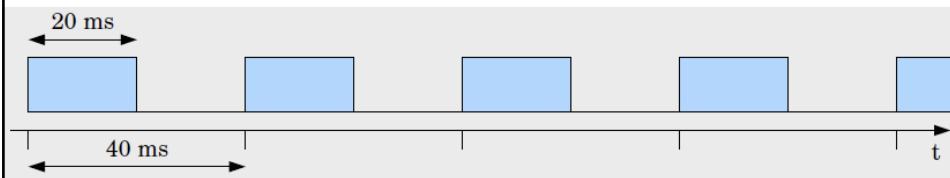
Intégration de l'information lumineuse

Durée d'intégration

- Un capteur élémentaire devrait théoriquement mesurer instantanément le **flux énergétique** qu'il reçoit, c'est à dire l'énergie par unité de temps ($W = J/s$).
- En pratique, un capteur mesure l'énergie totale (en J) qu'il reçoit pendant un intervalle de temps (en s) de durée non nulle, appelé temps d'intégration.

Exemple

- Fréq. d'acquisition = 25 im/s, durée d'intégration = 20 ms



5

5

Compromis sensibilité / flou de bougé

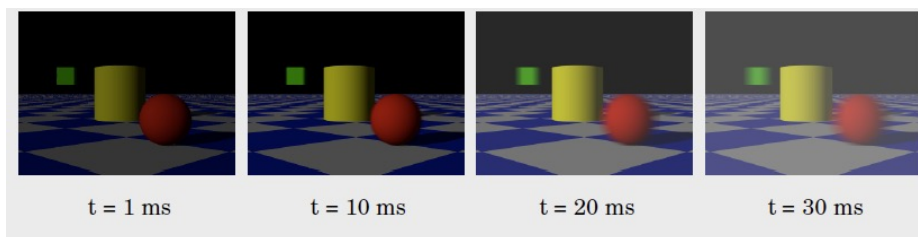
Pourquoi ?

En **augmentant** le temps d'intégration, on améliore la **sensibilité**.

Si un objet **bouge**, son image bouge également sur le capteur. Dans ce cas, le capteur accumule des mesures **non constantes**, ce qui entraîne un phénomène appelé **flou de bougé**.

Un **point mobile** apparaît comme une **ligne** dans l'image.

Exemple



6

6

Image continue : fonction de 2 variables

■ Fonction image

fonction $I : \mathbb{R}^2 \rightarrow \mathbb{R}^n, (x,y) \rightarrow I(x,y)$

n est le nombre de **composantes** de l'image
dans ce cas, l'espace \mathbb{R}^2 est appelé plan image

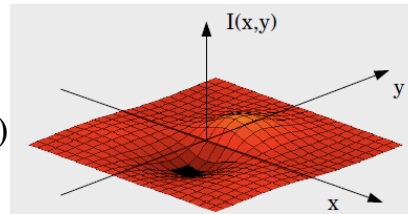
■ Support image

sous-ensemble de \mathbb{R}^2 de définition de I , de surface **finie**, en général un **rectangle**, de côtés T_x et T_y

■ Exemple à 1 composante

Pour x et y appartenant à $[-\pi, +\pi]$

$$I(x,y) = e^{-(x^2+y^2)} \cos(x) \cdot \sin(y)$$



7

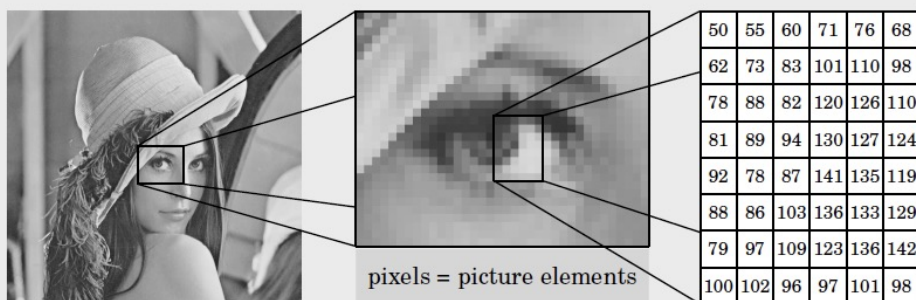
Image numérique : tableau bidimensionnel de valeurs

■ Echantillonnage de la fonction image

Echantillonnage en x et y de la fonction : ne conserve que les valeurs pour les points $(x,y) = (c \cdot \Delta x, l \cdot \Delta y)$, avec c et l entiers

Tableau de valeurs $I : \mathbb{Z}^2 \rightarrow \mathbb{R}^n, (c,l) \rightarrow I(c \cdot \Delta x, l \cdot \Delta y)$

■ Exemple à 1 composante



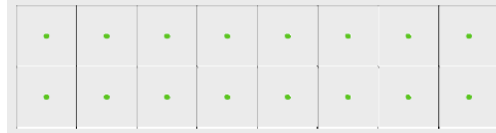
8

Echantillonnage spatial et résolution

■ Type d'échantillonnage spatial

Parfait : la valeur d'un pixel est une mesure du **flux énergétique**

Reçu par un **point** sensible (de surface nulle) du capteur.



Réel : la valeur d'un pixel est une mesure du flux énergétique reçu par **une surface sensible** élémentaire. C'est le **produit** de **l'éclairement énergétique** par la **surface** de l'élément sensible.



9

9

Echantillonnage spatial et résolution

Résolution d'une image

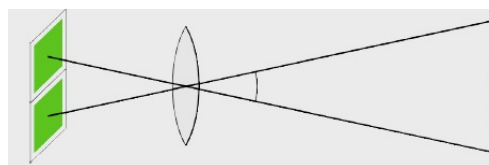
Nombre de pixels par **unité de longueur**. La résolution s'exprime en pixels / m (des fois en pixels / inch).

La résolution est **l'inverse** du pas de la grille d'échantillonnage.

La résolution est le **rapport** du nombre de pixels divisé par la **dimension** du capteur.

Pouvoir de résolution

Mesure, par un **angle**, la capacité d'un système d'acquisition d'image (optique + capteur) à **distinguer** des détails fins.

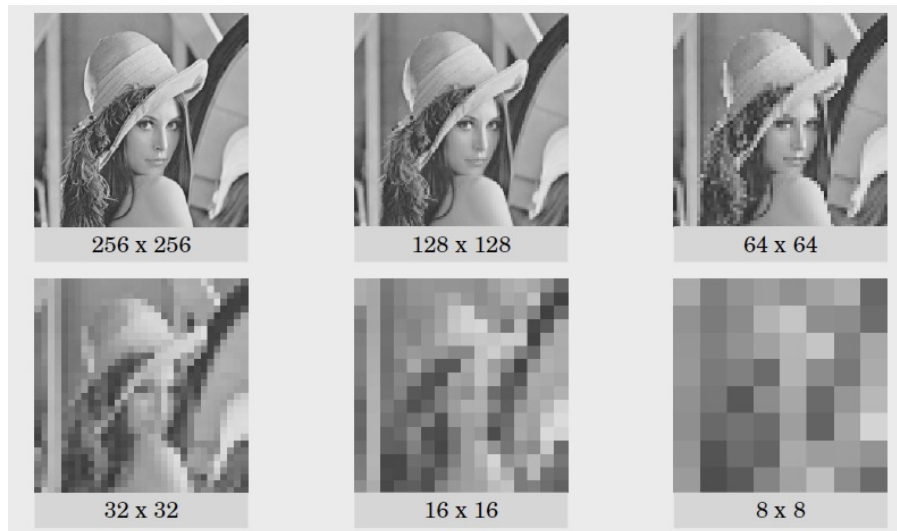


oeil = 1/60 de degré

télescope = 1/30000 de degré

10

Echantillonnage spatial et résolution



11

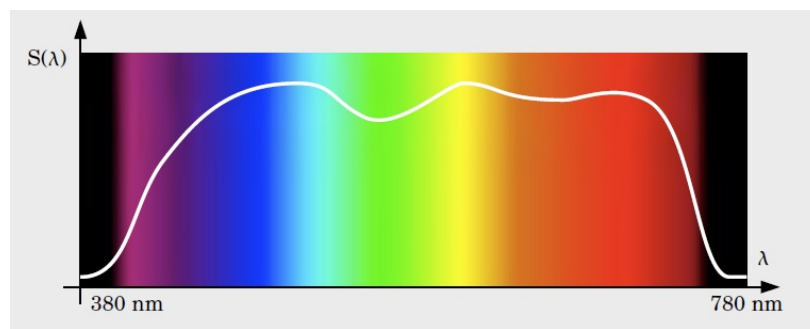
11

Echantillonnage spectral

■ Image monochrome

Pour chaque pixel on mesure le **flux énergétique total**, c'est-à-dire pour **toutes** les longueurs d'onde du spectre.

En pratique, un capteur monochromatique est caractérisé par une courbe de **sensibilité** spectrale.



12

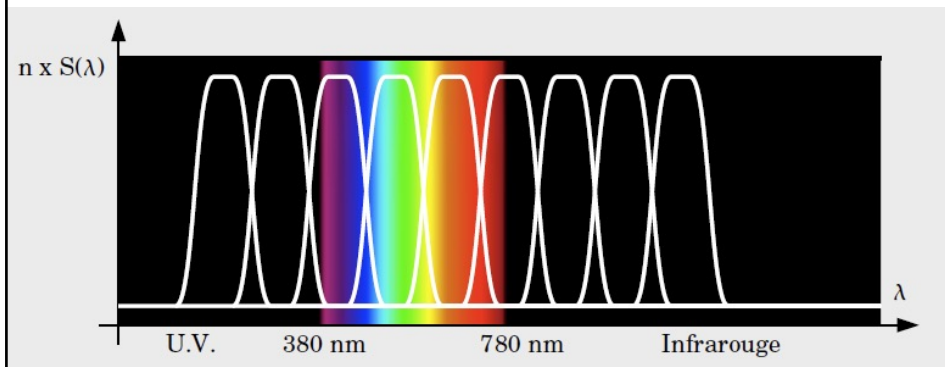
12

Echantillonnage spectral : image hyperspectrale

Échantillonnage du spectre en n bandes

Pour acquérir une **composante**, on utilise un capteur qui a une **sensibilité spectrale** correspondant à une **bande** du spectre.

Une **composante** est mesurée par l'intégrale du **flux énergétique monochromatique**, pondérée par la sensibilité spectrale.



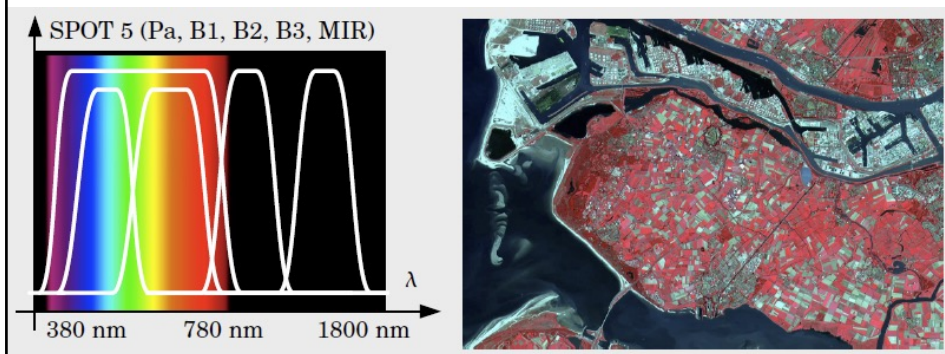
13

Echantillonnage spectral : image hyperspectrale

Image multispectrale

Les bandes sont en **nombre limité** et sont choisies parce que leurs longueurs d'ondes ont des propriétés particulières.

Exemple : **imagerie satellitaire**, la surface de la terre est observée dans le **visible** et l'**infrarouge** (végétation)



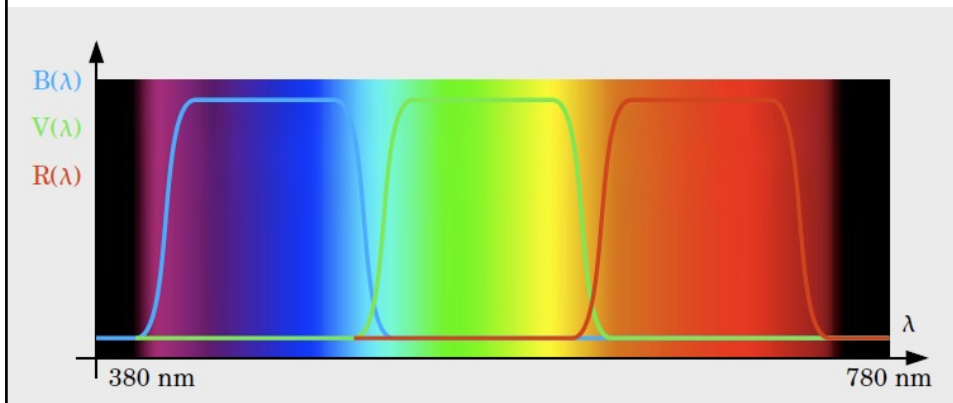
14

Echantillonnage spectral : image couleur

Image couleur, 3 composantes : Rouge, Verte, Bleue

On échantillonne **le spectre visible** dans trois bandes.

Les trois bandes (rouge, verte, bleue) ont été sélectionnées afin de correspondre à la **vision humaine standard**.



15

Numérisation des composantes : quantification

Valeurs numériques

Chaque valeur d'une composante de la fonction image est représentée par un **mot binaire**, codé sur un nombre fini de bits.

Pour un mot de m bits, la valeur varie entre 0 et $2^m - 1$.

Exemple : sur 8 bits, composantes entre 0 et 255.

Taille des données image

Dimensions du support : N_x pixels sur N_y lignes.

Nombre de composantes : n , nombre de bits de quantification : m

Exemples

Image monochrome binaire 256×256 : 65.536 bits = 8 Ko

Image spot 2048×2048 , 4 canaux, 12 bits : 201.326.592 bits = 24 Mo

16

16

Effet de la quantification sur le rendu visuel



17

Image et Transformée de Fourier

Définition de la transformée de Fourier

- Permet de passer d'une représentation spatiale à une représentation fréquentielle
- La transformée de Fourier d'une image permet de la représenter sous la forme de la somme d'exponentielles complexes d'amplitudes, de fréquences et de phases variables.
- Technique qui joue un rôle critique dans les applications de traitement d'image, incluant l'analyse, la restauration, le filtrage et la compression.

18

18

Image et Transformée de Fourier

- **Fonction de deux variables spatiales m et n :**

Si $f(m,n)$ est une fonction discrète spatiale de m et n, alors la transformée de Fourier à deux dimensions de $f(m,n)$ est définie par :

$$F(\omega_1, \omega_2) = \sum_{m=-\infty}^{+\infty} \sum_{n=-\infty}^{+\infty} f(m,n) \cdot e^{-j\omega_1 m} \cdot e^{-j\omega_2 n}$$

- ω_1 et ω_2 : variables fréquentielle en rad./échantillon.
- F : appelée représentation fréquentielle de f
- Fonction à valeurs complexe qui est périodique en ω_1 and ω_2 avec la période 2π .
- A cause de la périodicité, on ne s'intéresse qu'à la fenêtre fréquentielle :
 $-\pi < \omega_1 \text{ and } \omega_2 < \pi$

19

19

Transformée de Fourier inverse

- **L'inverse de la la transformée de Fourier en 2D est donnée par :**

$$f(m,n) = \frac{1}{4\pi^2} \int_{\omega_1=-\pi}^{+\pi} \int_{\omega_2=-\pi}^{+\pi} F(\omega_1, \omega_2) \cdot e^{j\omega_1 m} \cdot e^{j\omega_2 n} d\omega_1 d\omega_2$$

- Somme infinie d'exponentielles complexes (sinusoïdes) à des fréquences différentes.
- L'amplitude et la phase aux fréquences ω_1 et ω_2 sont données par :
 $F(\omega_1, \omega_2)$

20

20

Transformée de Fourier discrète (DFT)

- Les entrées et les sorties de cette transformation sont discrètes :
 - Cela permet des traitements numériques sur les échantillons discrets.
 - On peut utiliser un algorithme rapide FFT (Fast Fourier Transform) pour calculer la DFT.

21

21

Transformée de Fourier discrète (DFT)

Pour une fonction discrète $f(m,n)$ qui est non nulle dans la région finie $0 < m < M-1$ et $0 < n < N-1$, la DFT en deux dimensions $M \times N$ et son inverse sont données par :

$$F(p,q) = \sum_{m=0}^{M-1} \sum_{n=0}^{N-1} f(m,n) \cdot e^{-j\left(\frac{2\pi}{M}\right)pm} \cdot e^{-j\left(\frac{2\pi}{N}\right)qn} \quad \begin{array}{l} p = 0, 1, \dots, M-1 \\ q = 0, 1, \dots, N-1 \end{array}$$

$$f(m,n) = \frac{1}{MN} \sum_{p=0}^{M-1} \sum_{q=0}^{N-1} F(p,q) \cdot e^{j\left(\frac{2\pi}{M}\right)pm} \cdot e^{j\left(\frac{2\pi}{N}\right)qn} \quad \begin{array}{l} m = 0, 1, \dots, M-1 \\ n = 0, 1, \dots, N-1 \end{array}$$

22

22

Transformée de Fourier discrète (DFT)

- Les valeurs $F(p,q)$ sont les coefficient DFT de $f(m,n)$.
- Ce sont les échantillons de la transformée de Fourier $F(\omega_1, \omega_2)$.

$$F(p,q) = F(\omega_1, \omega_2) \Big|_{\substack{\omega_1 = 2\pi p / M \\ \omega_2 = 2\pi q / N}} \quad \begin{cases} p = 0, 1, \dots, M-1 \\ q = 0, 1, \dots, N-1 \end{cases}$$

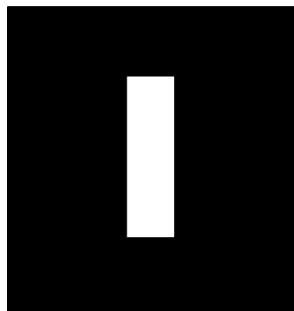
- En Python:
fft, fft2, fftn : implémentent la FFT en 1 dimension, 2 dimensions, n dimensions

23

23

TFD - image

- Construire une matrice f qui correspond à la fonction $f(m,n)$.
- Exemple : image binaire
`f = zeros(30,30);`
`f(5:24,13:17) = 1;`
 $f(m,n) = 1$ dans la région rectangulaire, et 0 ailleurs.



24

24

Echantillonnage d'une image et effet de repliement de spectre

■ Soit une image : `im_fleur = imread('Fleur.jpg')`

Construire les images de même taille contenant respectivement :

Une ligne / colonne sur 2

Une ligne / colonne sur 4

Une ligne / colonne sur 8

Une ligne / colonne sur 16

On diminue ainsi la résolution et on fait du sous-échantillonnage (discrétisation de l'image réelle avec plus ou moins de pixels).

25

25

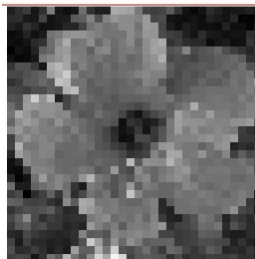
Echantillonnage d'une image



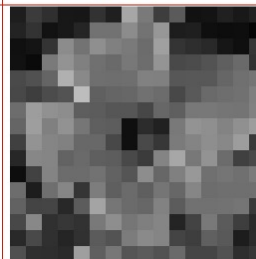
Une ligne/colonne sur 2



Une ligne/colonne sur 4



Une ligne/colonne sur 8



Une ligne/colonne sur 16

26

26

Echantillonnage d'une image et effet de repliement de spectre

- Calculez la DFT de plusieurs images avec des niveaux de sous-échantillonnage croissants

D'après **le théorème de Shannon**, on doit choisir une fréquence d'échantillonnage au moins deux fois supérieure à la fréquence maximale de l'image. Dans le cas contraire, on obtient le phénomène de repliement de spectre (ou *aliasing*).

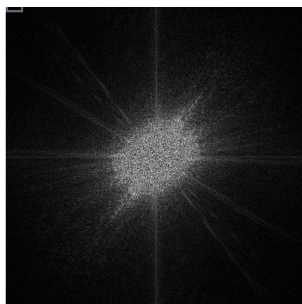
```
for i in range(255):
    for j in range(255):
        Im128(i,j) = Im256(i,j);
        Im128(i,j+1) = Im128(i,j);
    end
    Im128(i+1,j) = Im128(i,j);
end;
```

27

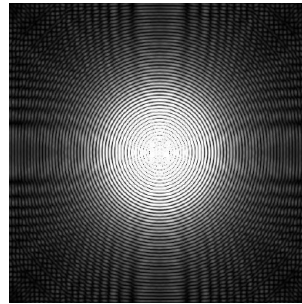
27

Echantillonnage d'une image et effet de repliement de spectre

Observez sur un exemple l'effet du repliement de spectre au niveau du **module** du spectre, pour un sous-échantillonnage de plus en plus grand :



$|F| = \text{fft2}(\text{im})$



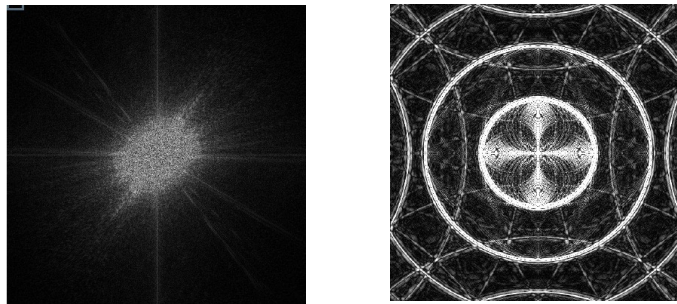
Léger sous-échantillonnage :
présence de hautes fréquences ->
effet de moiré au centre

28

28

Echantillonnage d'une image et effet de repliement de spectre

- A cause de la périodisation de l'image, on voit que les hautes fréquences ont tendance à revenir vers le centre : les fréquences réelles viennent se superposer aux fréquences plus basses -> repliement de spectre.

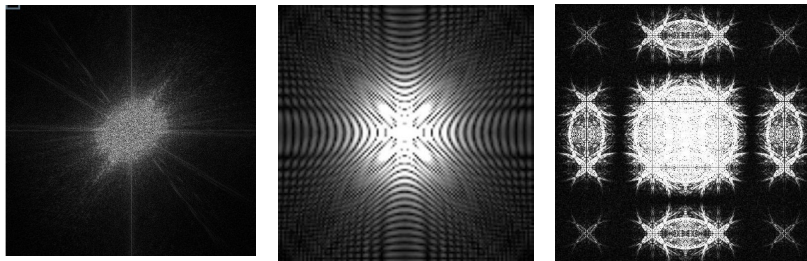


29

29

Echantillonnage d'une image et effet de repliement de spectre

- Image fortement sous-échantillonnée :
 - disparition des motifs
 - apparition de nouvelles formes



30

30

Inversion de l'amplitude de la FFT de 2 images

- $F = |F| \cdot \exp(j \cdot \Phi)$
- Partie réelle :
 $\text{real}(F) = |F| \cos(\Phi)$
- Partie imaginaire:
 $\text{im}(F) = |F| \sin(\Phi)$
- $\text{tg}(\Phi) = \text{imag}(F) / \text{real}(F)$
- $\Phi = \text{atan}(\text{imag}(F) / \text{real}(F))$

Importance de la phase !

```
F1 = fft2(im1);
F2 = fft2(im2);
M1 = abs(F1);    amplitude
M2 = abs(F2);
PH1 = atan(imag(F1)/real(F1));
PH2 = atan(imag(F2)/real(F2));
F11 = abs(F2)*exp(j*PH1);
F22=abs(F1)*exp(j*PH2);
im11=real(iff2(F11))
imshow(im11);
im22=real(iff2(F22))
imshow(im22);
```

31

31

Inversion de l'amplitude du spectre de deux images

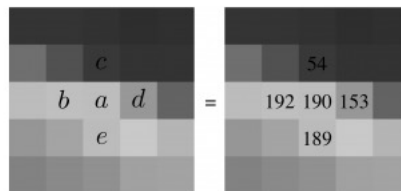


32

32

Détection des contours d'un objet

- Bords : grandes variations des valeurs des pixels



Exemple d'un voisinage de 5 pixels

- On peut calculer $l^2 = (b-d)^2 + (c-e)^2$
Si l^2 proche de zéro, soit $b = d$ et $c = e$, alors pas de contour
Si l grand, contour

33

33

Détection des bords d'un objet



Image

Carte de contours l

- Si l est faible, noir
- Si l est grand, blanc

34

34